## \_\_\_\_ НАДЕЖНОСТЬ, ПРОЧНОСТЬ, ИЗНОСОСТОЙКОСТЬ \_\_ МАШИН И КОНСТРУКЦИЙ

УДК 666.11.01:539,4

## ТЕМПЕРАТУРНЫЕ ОСТАТОЧНЫЕ НАПРЯЖЕНИЯ ПРИ ЛАЗЕРНОЙ ИММЕРСИОННОЙ РЕЗКЕ МЕТАЛЛОВ

© 2023 г. А. Ю. Албагачиев

Институт машиноведения им. А.А. Благонравова, Москва, Россия e-mail: albagachiev@yandex.ru

Поступила в редакцию 30.10.2022 г. После доработки 31.01.2023 г. Принята к публикации 20.02.2023 г.

Показаны преимущества использования лазерного сверления и резки при получении отверстий в металлах. Приведены расчетные данные температуры и температурных остаточных напряжений при лазерной и лазерной иммерсионной резке.

*Ключевые слова*: лазерная резка, вода, нержавеющая сталь, нагрев, температура, напряжения

DOI: 10.31857/S0235711923030033, EDN: PPYDHC

Четвертая промышленная революция связана с цифровизацией производства, полной автоматизациями его подготовки и выполнения технологических операций обработки деталей машин. "Узким" местом в обработке деталей является мелкоразмерное сверление отверстий диаметром 0.1-5 мм жаропрочных, высокопрочных, легированных и вязких сталей и сплавов. Существует большой набор (весьма затратных) технологических методов обработки отверстий начиная от лазерной и эрозионной обработки до алмазного, твердосплавного и ультразвукового сверления. Наиболее распространенным способом получения мелкоразмерных отверстий является традиционное сверление серийными спиральными сверлами, который имеет следующие недостатки низкую производительность, низкий уровень автоматизации и механизации и достаточно значимый уровень брака. Главным недостатком операции сверления является использование режимов обработки рекомендованных существующими номограммами, таблицами, справочниками, данными различных фирм, в том числе и зарубежных (sandvik, iskar, walter и т.д.), которые обеспечивают низкую стойкость и частые поломки малопрочного инструмента при обработке труднообрабатываемых материалов. Так, например, известно, что период стойкости до затупления у сверел, изготовленных из инструментальной стали P6M5 ( $d \le 5$  мм) при сверлении нержавеющей стали, составляет шесть минут.

На данный момент лазерное сверление и резка отверстий является наиболее перспективным методом получения всевозможных отверстий различного размера и геометрии практически на любой твердой поверхности, включая такие тугоплавкие материалы как вольфрам, рений, тантал, молибден и др. [1] (рис. 1).

В.С. Кондратенко и его школой разработан иммерсионный метод лазерной резки металлов [1, 2] с использованием ионизированной воды, при котором минимизированы энергозатраты за счет рационального использования мощности лазерного излучении при обеспечении высокого качества поверхности (остаточных напряжений) лазерного реза и прилегающих к нему поверхностей материала. В качестве источника

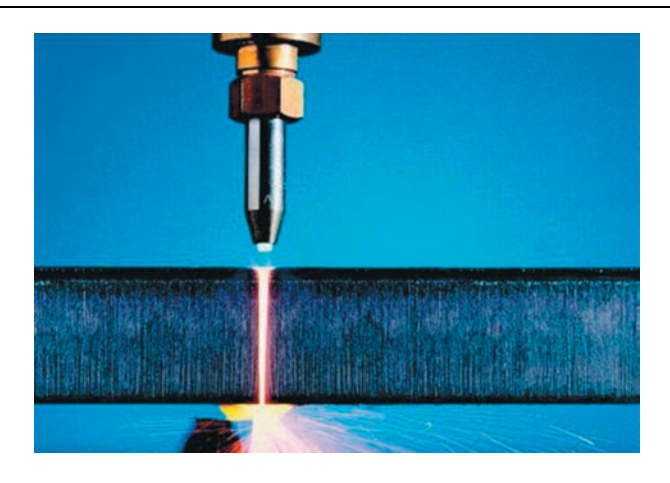


Рис. 1. Лазерная резка металлов.

излучения был использован пикосекундный Nd: YAG лазер Coherent Hyper Rapid 50W с длиной волны 1064 нм с пучком лазерного излучения диаметром порядка 28 мкм.

Использование наноионизированной воды в качестве иммерсионной жидкости [1] позволило избежать большие деформации материала, а процесс резки проходил без искр и горения металла, выбросов продуктов абляции и пара в окружающую среду. Результаты сверления отверстий в образцах из нержавеющей стали толщиной  $0.05\,\mathrm{mm}$  следующие: используемая мощность излучения после объектива составила  $35\,\mathrm{BT}$ ; частота  $200\,\mathrm{kTu}$ ; скорость сканирующего устройства  $3000\,\mathrm{mm/c}$ ; скорость перемещения по вертикальной оси  $Z-50\,\mathrm{mkm/c}$ . Время, затраченное на вырезание одного отверстия, составило одну секунду.

В любой работе по лазерной обработке материалов перечисляются преимущества такой технологии. В их числе всегда говорится об отсутствии деформаций изделия после лазерного воздействия. Причиной этого называют локальность воздействия, очень малые времена термического цикла, малую глубину зоны термического влияния и т.п. При лазерном воздействии – в первую очередь термическом (речь идет о традиционных лазерных термических технологиях — закалке, легировании, наплавке, сварке, резке, маркировке и т.п.), в материалах (и, конечно, в металлах, о которых далее и пойдет речь) при высоких температурах происходят фазовые превращения, меняется их структура, изменяется кристаллическая решетка и внутренний объем кристаллической ячейки, возникают внутренние температурные напряжения и напряжения за счет структурно-фазовых превращений. Система становится неоднородной. В объекте лазерного воздействия (в обрабатываемой лазером детали) формируются участки с характеристиками, отличающимися от основного объема материала. Если их концентрация становится значительной и эти напряжения преодолевают некий порог прочности металла, то система (деталь, образец) становится неустойчивой и в результате деформируется. Тезис о бездеформационности лазерной обработки следует понимать так, что эти деформации могут быть гораздо меньше, чем при традиционных методах термической обработки металлов (может быть, даже на порядки). Но они есть, и задача технологов – понять их причины и свести их к минимуму, благо, что лазерный луч дает такие возможности. Настоящее исследование было проведено с целью выявления влияния режимов лазерной резки листовых металлических материалов на их устойчивость к возникновению остаточных напряжений. Трещины появляются под воздействием растягивающих остаточных напряжений возникающих в

Материал	Плотность,	Теплоемкость,	Температуро-	Прочность,
	кг/м <sup>3</sup>	Дж/кг °С	проводность $a$ , $10^6 \mathrm{m}^2/\mathrm{c}$	МПа
сталь 12X18H10T	7920	518	5	550

Таблица 1. Физико-механические свойства стали 12Х18Н10Т

нержавеющей стали в результате быстрого охлаждения после импульсного нагрева. Рассмотрим распределение температуры нагрева при лазерной резке отверстия в стали 12X18H10T (табл. 1) без хладагента и с его использованием.

Расчет распределения температуры от поверхности отверстия в радиальном направлении выполняли по формуле (1). Результаты расчета приведены на рис. 2

$$\Theta_{\rm c} = \Theta e^{\frac{-z^2}{4at}},\tag{1}$$

где  $\Theta$  — температура на контакте лазерный луч—металл; a — температуропроводность; t — время контакта луча с металлом.

Касательные напряжения, возникающие вокруг зоны облучения стали, растягивают материал и если остаточные напряжения  $\sigma > \sigma_p$  (где  $\sigma_p$  — предел прочности металла, 550 МПА для стали 12X18H10T), то вероятность возникновения трещины высокая.

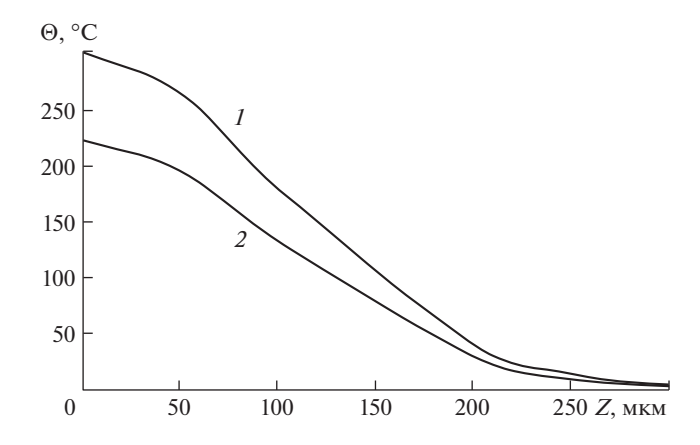
Расчеты остаточных температурных напряжений (рис. 3) выполняли по формуле (2)

$$\sigma = \alpha E \theta \exp\left(-\frac{z^2}{4at}\right),\tag{2}$$

где  $\alpha$  — коэффициент линейного расширения; E — модуль упругости.

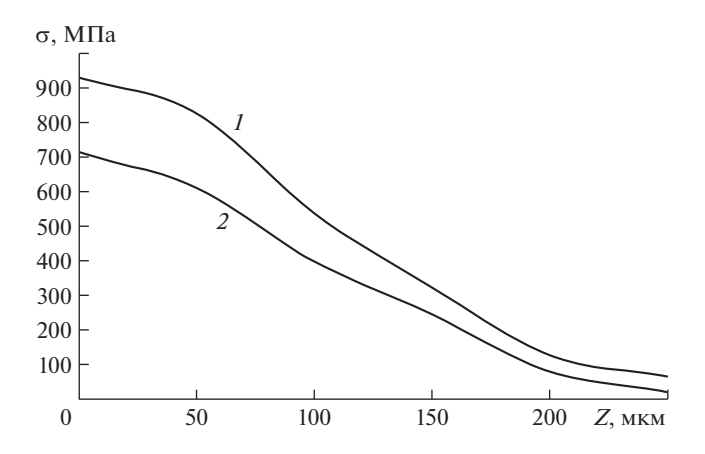
Как видно из рис. 2 максимальные контактные температуры между лазерным лучом и металлом в радиальном направлении при лазерной резке составляют 220 и 300°С температуры соответственно с имерсионной жидкостью и без нее. С увеличением расстояния перпендикулярно лучу в металл температуры снижаются, и снижается их разность и на расстоянии 300 мкм от контактной поверхности ее значения совпадают.

После лазерной резки без хладагента (рис. 3, кривая *I*) растягивающие остаточные напряжения на поверхности достигают 920 МПа, критическое расстояние от поверх-



**Рис. 2.** Распределение температуры при лазерной резке: I — без хладагента; 2 — с иммерсионной жидкостью.

32



**Рис. 3.** Распределение остаточных напряжений после лазерной резки: I – без хладагента; 2 – с иммерсионной жилкостью.

ности отверстия в радиальном направлении, где могут развиться трещины, составляет  $120\,$  мкм. При лазерной резке с использованием хладагента (рис. 3, кривая 2) поверхностные остаточные напряжения составляют  $720\,$  МПа, а критическая область трещинообразования снижается примерно вдвое — до  $60\,$  мкм. На расстоянии  $300\,$  мкм от поверхности отверстия они снижаются до  $0\,$  и дальше переходят в сжимающие остаточные напряжения.

**Выводы.** Сравнительный анализ лазерной обработки стали 12X18H10T показал, что с помощью иммерсионной охлаждающей жидкости можно на 17% снизить температуру, на 30% поверхностные остаточные растягивающие напряжения и в 1.5 раза уменьшить расстояние вокруг отверстия, где они могут появиться.

## БЛАГОДАРНОСТЬ

Автор выражает искреннюю благодарность сотрудникам Физико-технологического института РТУ МИРЭА профессору, д.т.н. В.С. Кондратенко и доценту, к.т.н. В.В. Кадомнину за участие в постановке задачи и обсуждении результатов исследований.

## СПИСОК ЛИТЕРАТУРЫ

- 1. Kondratenko V.S., Naumov A.S., Velikovskiy I.E. Taiwan Patent 107129739, 2018.
- 2. *Кондратенко В.С., Лу Х.-Т., Наумов А.С., Великовский И.Э.* Лазерная резка кремниевых подложек изготовленных методом Taiko // Прикладная физика. 2020. № 1. С. 71.
- 3. Лу Х.-Т., Кондратенко В.С., Наумов А.С., Великовский И.Э., Зобов А.К. Новая технология лазерной резки кремниевых подложек "TAIKO" // Сборник докладов конференции "Оптические технологии, материалы и системы (Оптотех-2019)"; ФТИ Российского технологического университета / Под редакцией В.С. Кондратенко. М.: РТУ-МИРЭА, 2019. С. 16.
- 4. *Murakami R.*, *Nakagawa H.*, *Matsuo S*. Water-Assisted Laser Drilling for Miniature Internal Thread in Glass and Evaluation of Its Strength // J. of Laser Micro Nanoengineering. 2017. V. 12. № 3. P. 203.
- 5. Arai Y., Sako T., Takebayashi Y. Supercritical fluids: molecular interactions, physical properties and new applications. Berlin: Springer, 2002.